



Тема 1

Самофокусировка импульсного излучения

План лекции

- Самофокусировка пучка. Ретроспектива.
- Критическая мощность
 - ◆ Геометрооптическое приближение
 - ◆ Приосевое приближение
 - ◆ Вариационный подход
 - ◆ Численные оценки.
- Расстояние самофокусировки. Формула Марбургера
- Мода Таунса. Форм-фактор
- Сфокусированный пучок. Линзовые преобразования
- Дисперсия кубичной нелинейности
- Нестационарный отклик

Предсказание самофокусировки

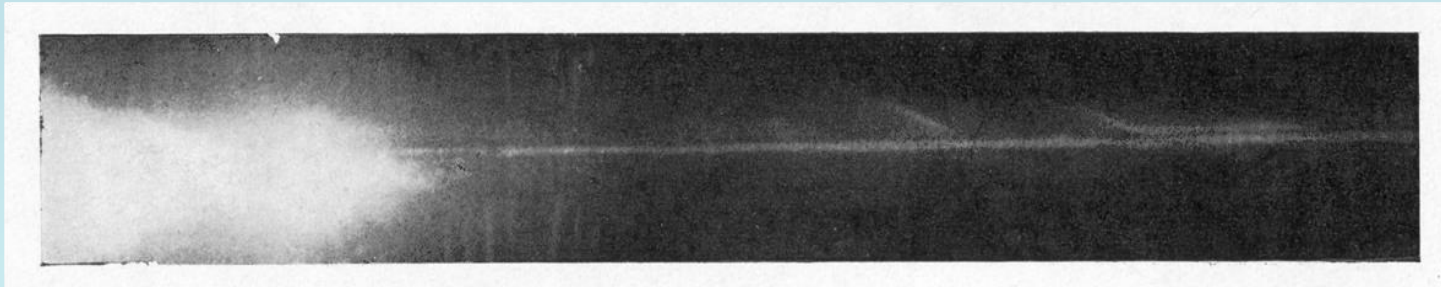
1961г., Г.А. Аскарьян:

«Интересно отметить, что ... воздействие луча интенсивной радиации на среду может быть настолько сильным, что создастся перепад свойств среды в луче и вне луча, что вызовет волноводное распространение луча и устранил геометрическую и дифракционную расходимость — это интересное явление можно назвать самофокусировкой электромагнитного луча».

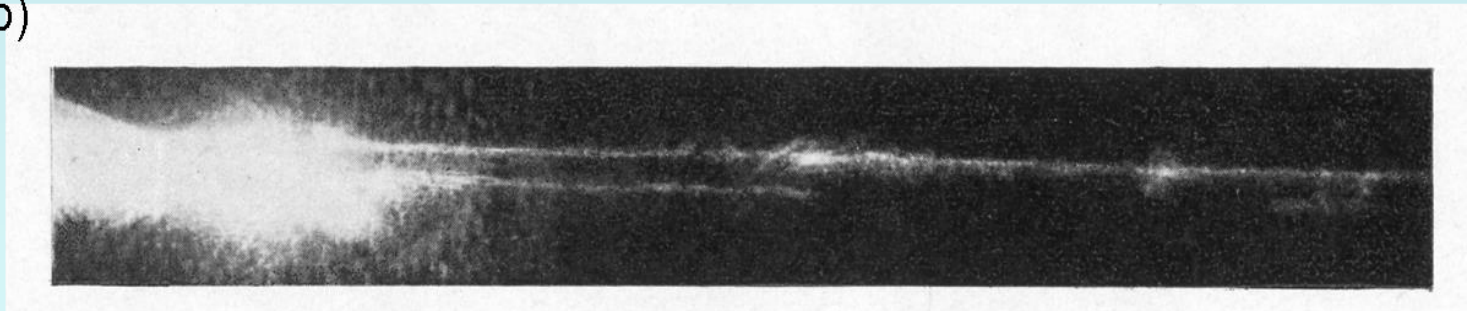
Первый эксперимент по наблюдению самофокусировки лазерного пучка

“...Самософокусированное в узкую нить излучение лазера оставляло на фотобумаге, укрепленной с торца кюветы, четкий след в виде точки...”

a)



b)



Светящиеся каналы при фокусировке наносекундных импульсов на длине волны 1,06 мкм мощностью 20 мВт в кювету с циклогексаном (a), ортоксилолом (b).

Радиус фокусировки 28 мм, длина филамента около 5 см.

Пилипецкий Н.Ф., Рустамов А.Р., Письма в ЖЭТФ, (1965)

Первое наблюдение самофокусировки (Согласно представлениям за рубежом)

M. Hercher:

Laser-induced Damage in Transparent Media.

Presents the first laboratory observation of self-focusing.

Only the abstract had been published in

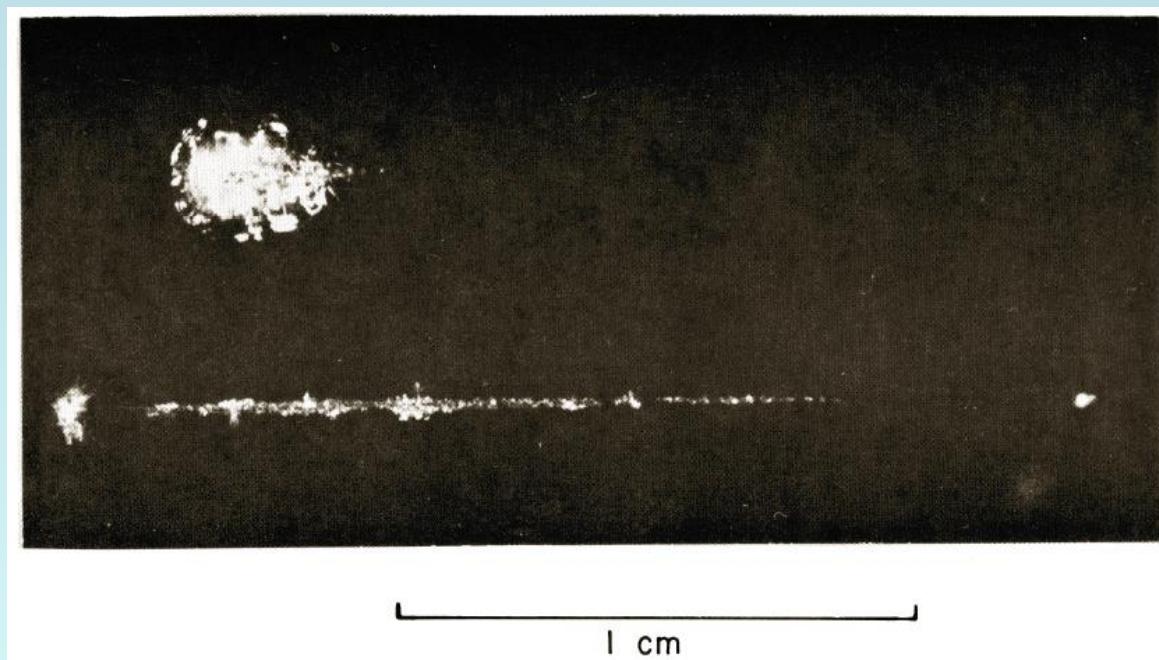
J. Opt. Soc. Am., 54, 563 (1964).

***Self-focusing: Past and Present. Fundamentals and Prospects,
Editors: Boyd R.W., Lukishova S.G., Shen Y. R.
Topics in Applied Physics, 114, Springer, 2009.***

This paper is published here for the first time in its entirety.

Характерные разрушения в стекле при различной фокусировке пучка 0,1 Дж, 10 МВт, ~10 нс

М. Hercher “Laser-induced Damage in Transparent Media”



Вверху: короткофокусная линза, внизу – длиннофокусная

*Self-focusing: Past and Present. Fundamentals and Prospects,
Editors: Boyd R.W., Lukishova S.G., Shen Y. R.
Topics in Applied Physics, 114, Springer, 2008, P.279*

Самофокусировка пучка в воздухе

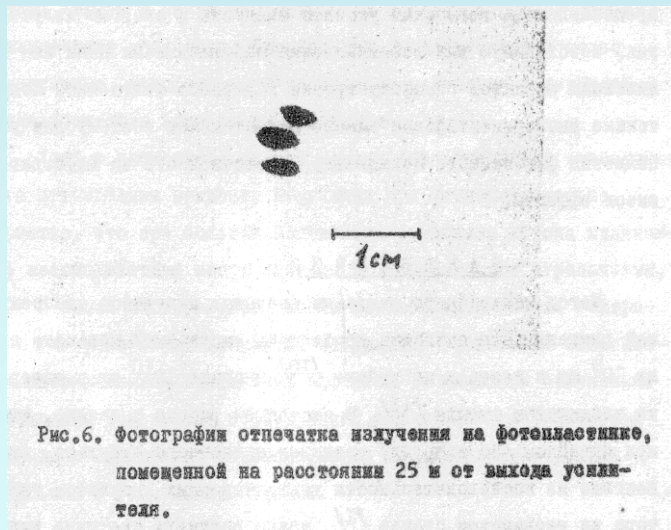
сходящийся пучок

Korobkin V.V., Alcock A.J. Phys. Rev. Lett., v. 21, 1433 (1968)

коллимированный пучок (10^{12} Вт, 20 пс, 1,06 мкм)

Басов Н.Г., Крюков Н.Г., Сенатский Ю.В., Чекалин С.В.

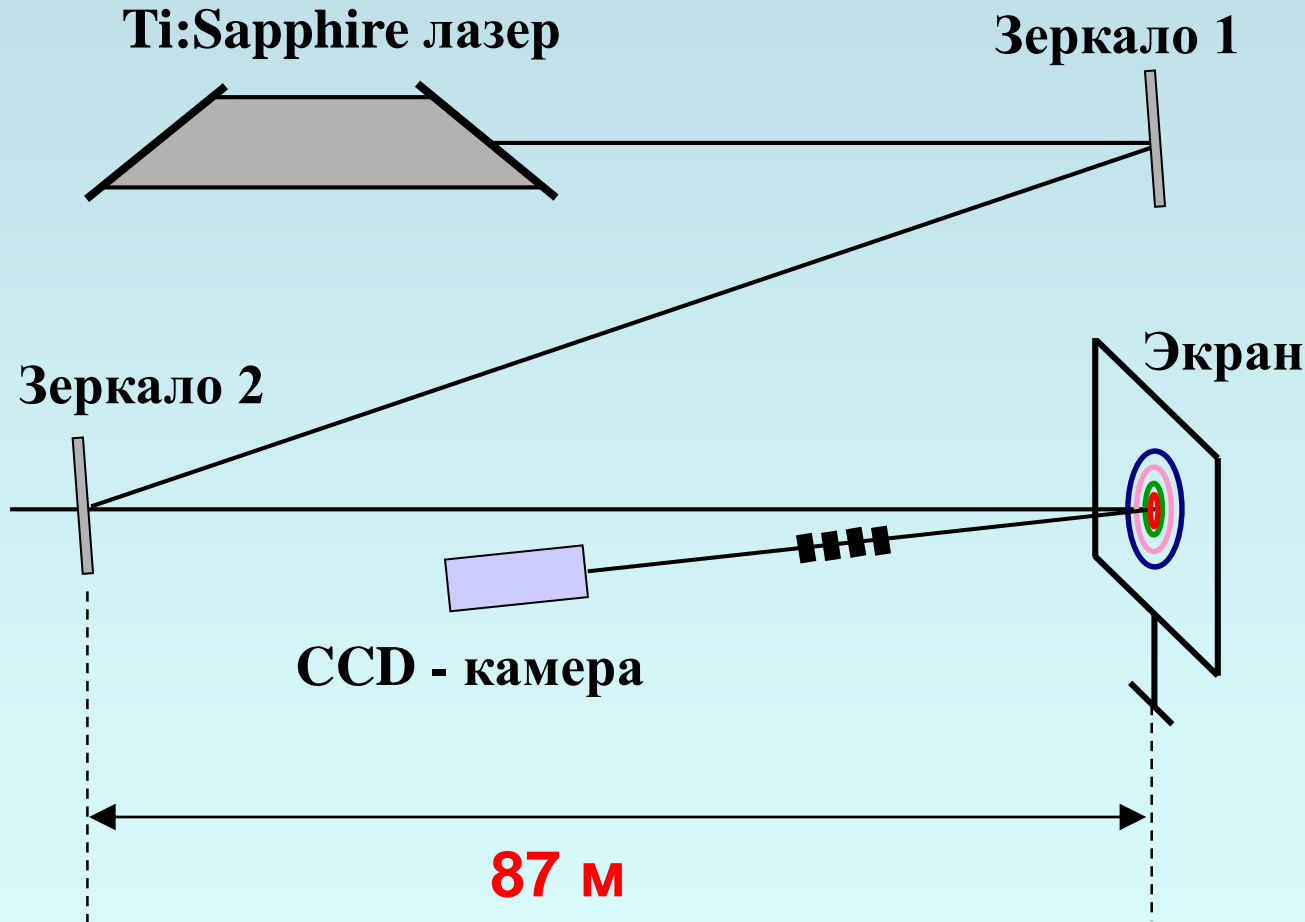
Препринт ФИАН СССР № 91 (1969); ЖЭТФ (1969)



Пятно столь малых размеров не может быть получено даже при дифракционной расходимости пучка диаметром $\sim 0,5$ мм. Угловая расходимость излучения $\sim 3 \cdot 10^{-2}$ рад

Braun A., Korn G., Liu X., Du D., Squier J., Mourou G. "Self-channeling of high-peak-power femtosecond laser pulses in air", Opt. Lett., v. 20, 73 (1995).

Схема эксперимента по наблюдению Филаментации в воздухе



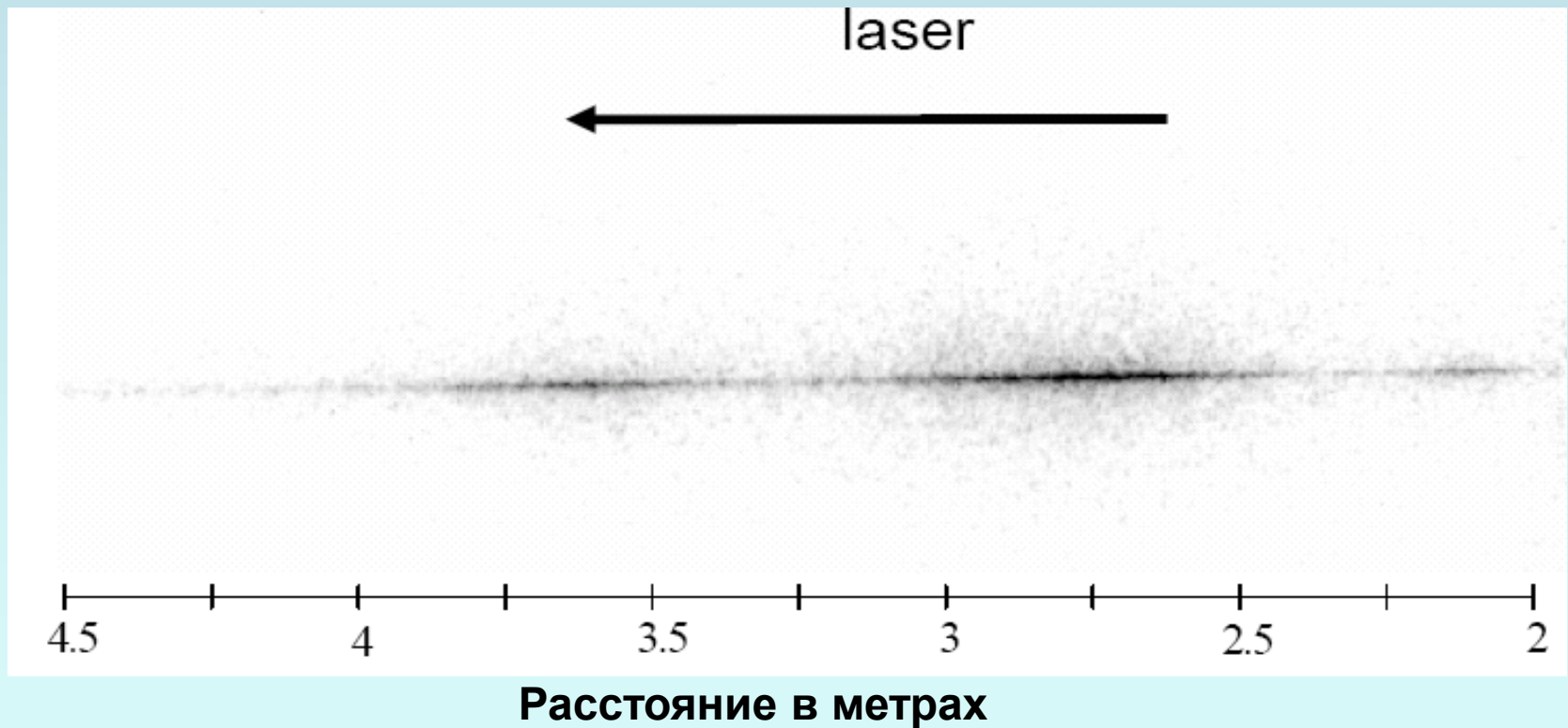
$$\begin{aligned}\tau_0 &= 45 \text{ фс} \\ a_0 &= 7.7 \text{ мм} \\ \lambda &= 800 \text{ нм} \\ P_{\text{пик}} &\approx 20 P_{\text{крит}} \\ ka_0^2 &= 466 \text{ м} \\ W &= 5-40 \text{ мДж}\end{aligned}$$

Изображение филамента в воздухе

Вид сбоку

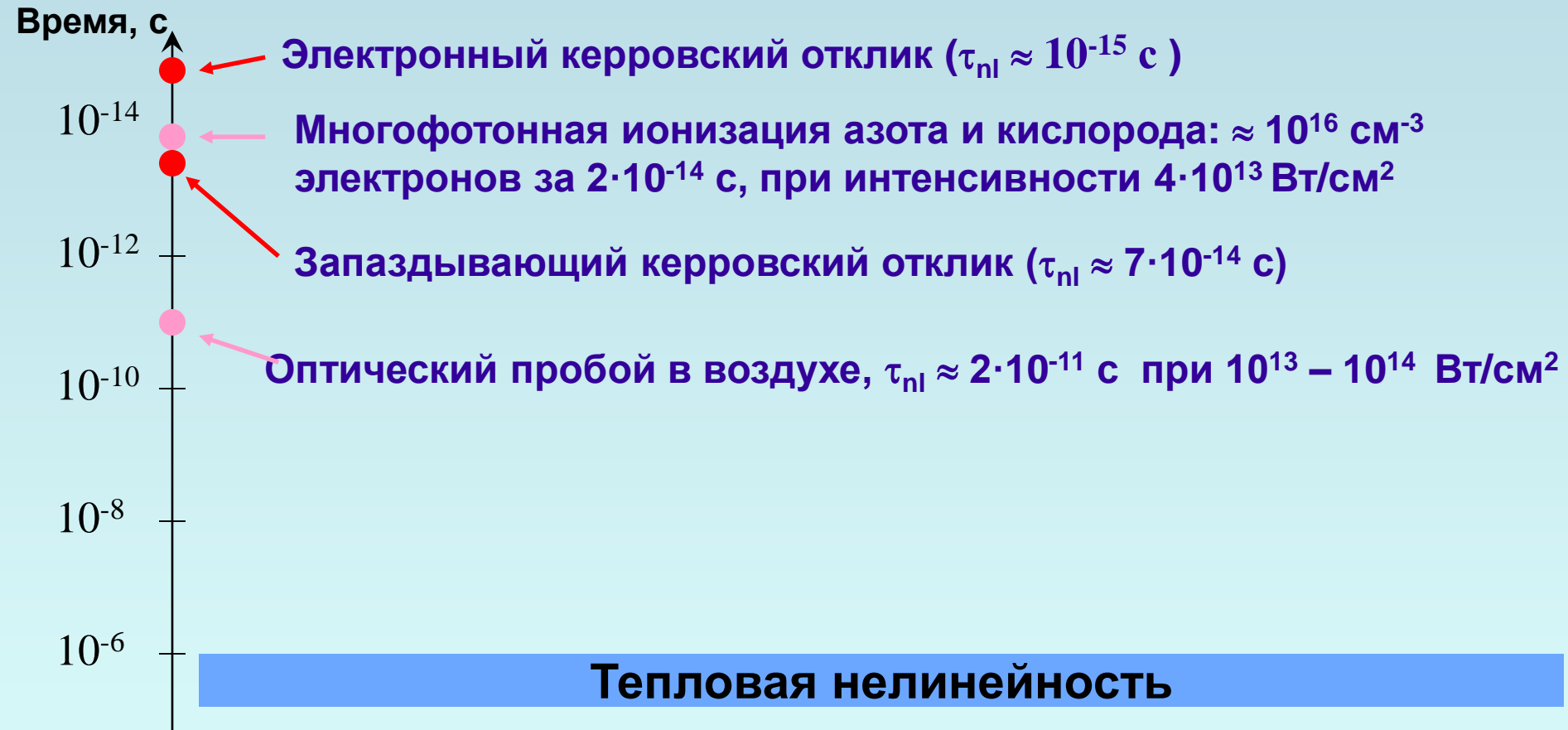
Филамент получен при фокусировке линзой с $F=5$ м импульса энергией 13 мДж длительностью 45 фс.

Диаметр филамента 100 мкм

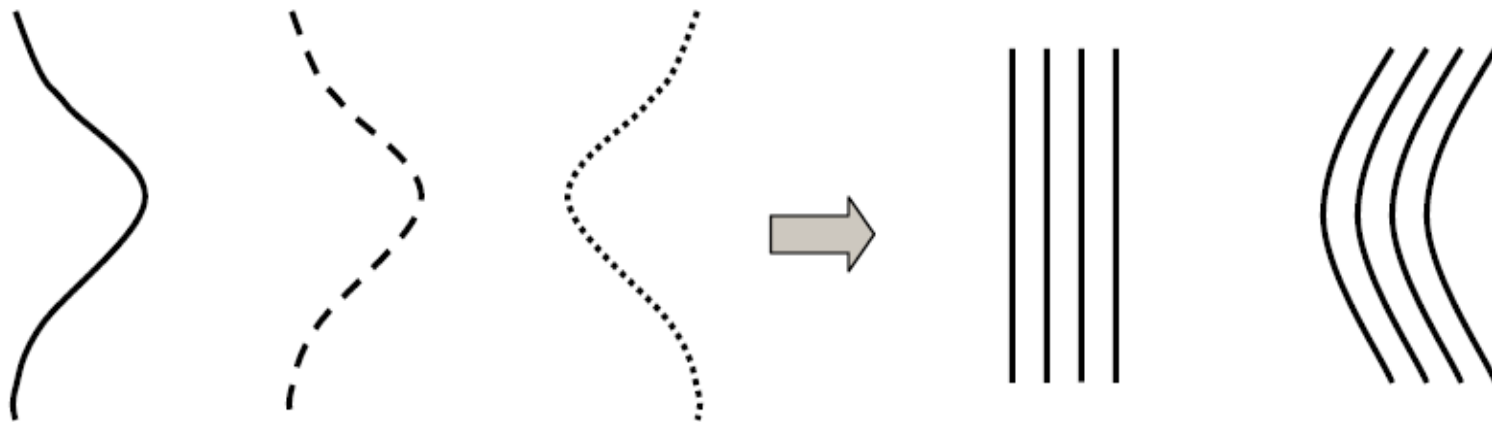


Chin S.L., et al., *Can. J. Phys.*, v. 83, p. 863, (2005).

Временные масштабы явления



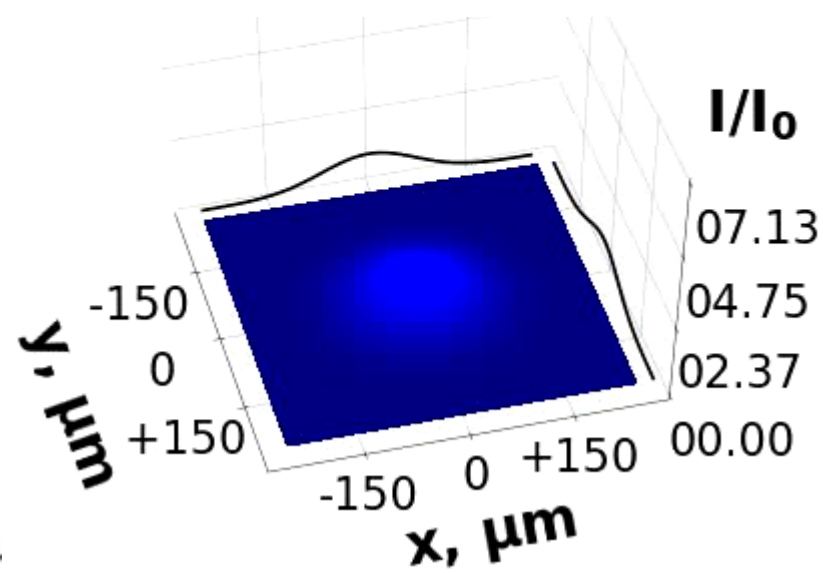
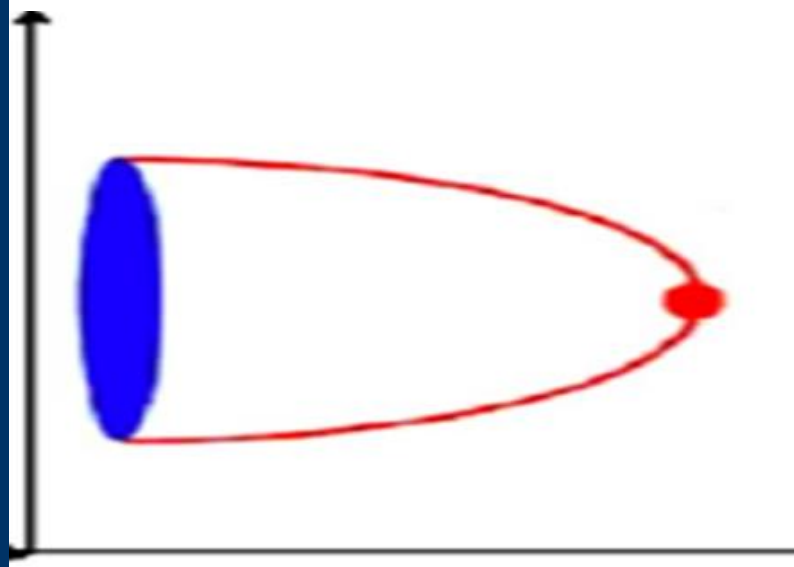
Самофокусировка пучка



I
(a)

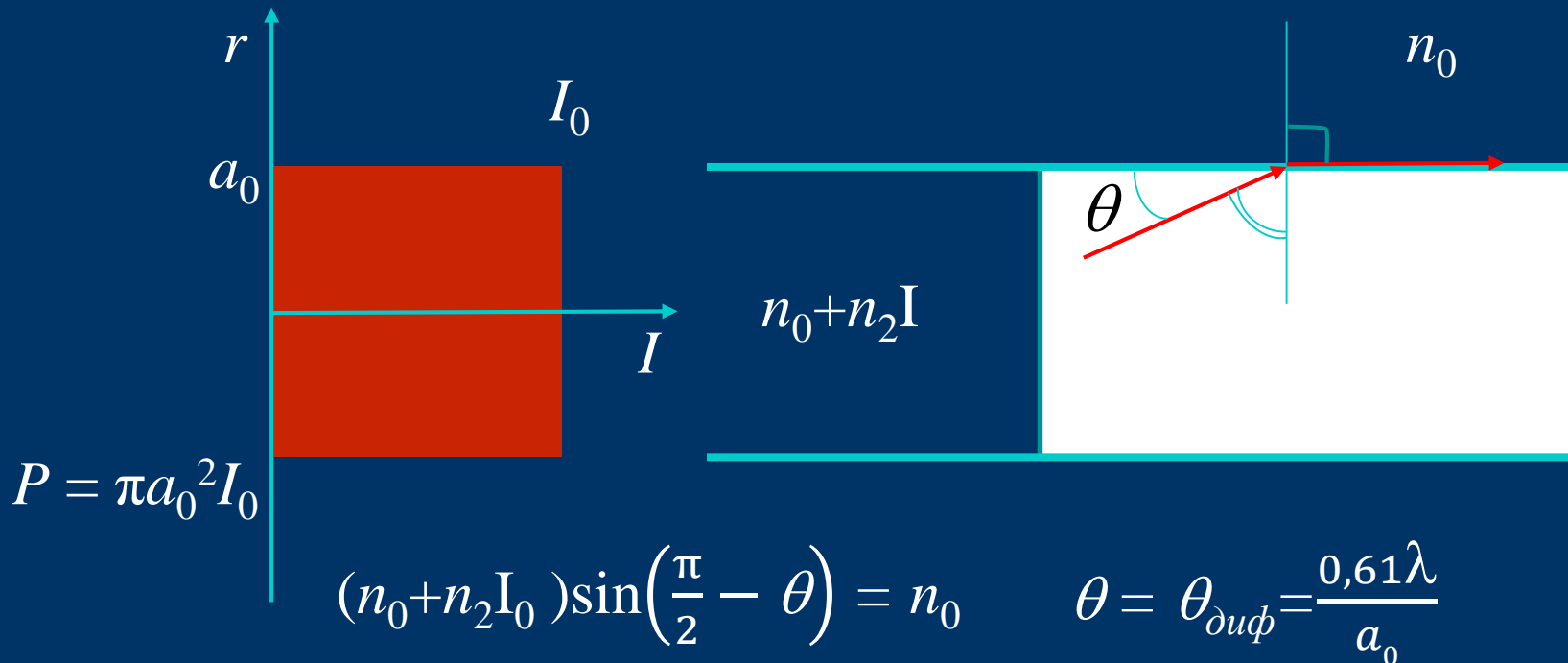
$n = n_0 + n_2 I$
(b)

$v_{phase} = c_0 / n$
(c)



Критическая мощнось

Геометрооптическое приближение



$$(n_0 + n_2 I_0) \sin\left(\frac{\pi}{2} - \theta\right) = n_0 \quad \theta = \theta_{\text{диф}} = \frac{0,61\lambda}{a_0}$$

$$(n_0 + n_2 I_0) \cos \theta \approx (n_0 + n_2 I_0) \left(1 - \frac{\theta^2}{2}\right) = n_0 \quad \Rightarrow \quad n_2 I_0 \approx n_0 \frac{\theta^2}{2}$$

$$P_{cr}^{\text{го}} = \frac{\pi(0,61)^2 \lambda^2 n_0}{2n_2} \quad \lambda = \frac{2\pi}{k} \quad P_{cr}^{\text{го}} = \frac{2\pi^3(0,61)^2 n_0}{k^2 n_2}$$

Приосевое безабберационное приближение

$$2ik \frac{\partial A}{\partial z} = \Delta_{\perp} A$$

$$n = n_0 + n_2 I$$

$$I = \frac{cn_0 \epsilon_0}{2} |A^2|$$

$$\Delta_{\perp} = \frac{\partial^2}{\partial x^2} + \frac{\partial^2}{\partial y^2}$$

Решение в виде:

$$A(r, z) = A_0(r, z) e^{-ikS(r, z)}$$

S — эйконал

$$r = \sqrt{x^2 + y^2}$$

Приосевое безабберационное приближение

$$Re: \quad 2 \frac{\partial S}{\partial z} + (\nabla_{\perp} S)^2 = \frac{2n_2 I}{n_0} + \frac{\Delta_{\perp} A_0}{k^2 A_0}$$

$$Im: \quad \frac{\partial A_0}{\partial z} + (\nabla_{\perp} S)(\nabla_{\perp} A_0) + \frac{1}{2} A_0 \Delta_{\perp} S = 0$$

В осесимметричном случае:

$$2 \frac{\partial S}{\partial z} + \left(\frac{\partial S}{\partial r} \right)^2 = \frac{2n_2 I}{n_0} + \frac{1}{k^2 A_0} \left(\frac{\partial^2 A_0}{\partial r^2} + \frac{1}{r} \frac{\partial A_0}{\partial r} \right)$$

$$\frac{\partial A_0}{\partial z} + \frac{\partial S}{\partial r} \frac{\partial A_0}{\partial r} + \frac{A_0}{2} \left(\frac{\partial^2 S}{\partial r^2} + \frac{1}{r} \frac{\partial S}{\partial r} \right) = 0$$

Приосевое безабберационное приближение

Начальные условия:

$$A_0(\mathbf{r}, z = 0) = E_0 e^{-r^2/2a^2} \quad I(\mathbf{r}, z = 0) = I_0 e^{-r^2/a^2}$$

Безабберационное приближение:

Гауссовский пучок

$$A_0(\mathbf{r}, z) = \frac{E_0}{f} e^{-r^2/2a^2 f^2} \quad I(\mathbf{r}, z) = \frac{I_0}{f^2} e^{-r^2/a^2 f^2}$$

Параболический волновой фронт

$$S(\mathbf{r}, z) = \frac{r^2}{2} \frac{1}{f} \frac{\partial f}{\partial z} + \text{const}(z) \quad f(z) = ?$$

Приосевое безабберационное приближение

Приосевое приближение ($r \ll af$):

$$I(r, z) = \frac{I_0}{f} e^{-r^2/a^2 f^2} \approx \frac{I_0}{f^2(z)} \left(1 - \frac{r^2}{a^2 f^2(z)} \right)$$

Подставляя в уравнение для S , получаем

$$f^3 \frac{d^2 f}{d(z^2)} = \left(-\frac{1}{L_{\text{НЛ}}^2} + \frac{1}{L_{\text{Д}}^2} \right) \quad L_{\text{НЛ}}^2 = \frac{n_0 a^2}{2n_2 I_0} \rightarrow \frac{df^2}{d(z^2)} = \left(-\frac{1}{L_{\text{НЛ}}^2} + \frac{1}{L_{\text{Д}}^2} \right)$$
$$L_{\text{Д}}^2 = (ka^2)^2$$

$$f^2(z) = \text{const} \rightarrow L_{\text{НЛ}}^2 = L_{\text{Д}}^2 \quad \frac{n_0 a^2}{2n_2 I_0} = k^2 a^4 \quad \frac{\pi n_0}{2k^2 n_2} = \pi a^2 I_0$$

$$P_{\text{cr}}^{\text{го}} = \frac{2\pi^3 (0,61)^2 n_0}{k^2 n_2}$$

$$P_{\text{cr}}^{\text{по}} / P_{\text{cr}}^{\text{го}} \approx 0,07$$

$$P_{\text{cr}}^{\text{по}} = \frac{\pi n_0}{2k^2 n_2}$$

Безразмерное нелинейное уравнение КВАЗИОПТИКИ

$$2ik \frac{\partial A}{\partial z} = \frac{\partial^2 A}{\partial x^2} + \frac{\partial^2 A}{\partial y^2} + \frac{2k_0^2}{n_0} n_{2A} |A|^2 A$$

$$x' = \frac{x}{a}, \quad y' = \frac{y}{a}, \quad z' = \frac{z}{k a^2}, \quad A' = \frac{A}{E_0}$$

В безразмерных переменных (опуская штрихи)

P_0

$$2i \frac{\partial A}{\partial z} = \Delta_{\perp} A + R |A|^2 A$$

$$R = \frac{2k^2 a^2 n_{2A} E_0^2}{n_0} = \frac{2k^2 \pi a^2 n_2 I_0}{\pi n_0}$$

$$R = \frac{P_0}{P_{cr}^{ПО}}$$

$$P_{cr}^{ПО} = \frac{\pi n_0}{2k^2 n_2}$$

Вариационный подход

$$2i \frac{\partial A}{\partial z} = \Delta_{\perp} A + R |A|^2 A$$

Решение ищется как функция, минимизирующая функционал:

$$\Phi[A, A^*] = \int_0^z dz \left[\int_{-\infty}^{\infty} dx dy \left\{ i \left(\frac{\partial A}{\partial z} A^* - \frac{\partial A^*}{\partial z} A \right) \right\} + H[A, A^*] \right]$$

Гамильтониан системы:

$$H[A, A^*] = \int_{-\infty}^{\infty} dx dy \left(\nabla_{\perp} A \nabla_{\perp} A^* - \frac{R}{2} (AA^*)^2 \right)$$

Эквивалентность вариационной формулировки

Условие минимума функционала $\delta_{A^*} \Phi[A, A^*] = 0$

$$\text{где } \delta_{A^*} \Phi = \frac{\partial \Phi}{\partial A^*} \delta A^*$$

$$\delta_{A^*} \Phi[A, A^*] = \int_0^{z^*} dz \left[\int_{-\infty}^{\infty} dx dy \left\{ i \left(\frac{\partial A}{\partial z} \delta A^* - A \frac{\partial \delta A^*}{\partial z} \right) \right\} + \delta_{A^*} H[A, A^*] \right]$$

Вариация $\delta A^* = 0$ при $z = 0$ и $z = z^*$

$$\int_0^{z^*} -A \frac{\partial \delta A^*}{\partial z} dz = -A \delta A^* \Big|_0^{z^*} + \int_0^{z^*} \frac{\partial A}{\partial z} \delta A^* dz$$

Эквивалентность вариационной формулировки

Второе слагаемое $H[A, A^*] = \int_{-\infty}^{\infty} dx dy \left(\nabla_{\perp} A \nabla_{\perp} A^* - \frac{R}{2} (AA^*)^2 \right)$

$$\int_0^{z^*} dz \delta_{A^*} H[A, A^*] = \int_0^{z^*} dz \int_{-\infty}^{\infty} dx dy (\nabla_{\perp} A \nabla_{\perp} \delta A^* - R(AA^*)A\delta A^*)$$

$$\int_{-\infty}^{\infty} dy \int_{-\infty}^{\infty} dx \left(\frac{\partial A}{\partial x} + \frac{\partial A}{\partial y} \right) \left(\frac{\partial \delta A^*}{\partial x} + \frac{\partial \delta A^*}{\partial y} \right) \rightarrow$$

$$\rightarrow \int_{-\infty}^{\infty} dy \left\{ \left[\frac{\partial A}{\partial x} \delta A^* \right]_{-\infty}^{\infty} - \int_{-\infty}^{\infty} \frac{\partial^2 A}{\partial x^2} \delta A^* dx \right\}$$

т.к. пучок ограничен

Эквивалентность вариационной формулировки

$$\delta_{A^*} \Phi[A, A^*] = \int_0^{z^*} dz \int_{-\infty}^{\infty} dx dy \left\{ 2i \frac{\partial A}{\partial z} - \left(\frac{\partial^2 A}{\partial x^2} + \frac{\partial^2 A}{\partial y^2} \right) - R(AA^*)A \right\} \delta A^* = 0 \quad \forall \delta A^*$$

Условие минимума функционала можно представить в виде:

$$\delta_{A^*} \Phi[A, A^*] = \int_0^{z^*} dz \left[2i \frac{\partial A}{\partial z} \delta A^* + \delta_{A^*} H[A, A^*] \right] = 0$$

Неизменность формы пучка $\rightarrow \frac{\partial A}{\partial z} = 0 \rightarrow H[A, A^*] = 0$

Т.е. критическая мощность из условия

$$H[A, A^*] = \int_{-\infty}^{\infty} dx dy \left(\nabla_{\perp} A \nabla_{\perp} A^* - \frac{R}{2} (AA^*)^2 \right) = 0$$

Вариационная оценка критической мощности для гауссовского пучка

$$A_0(r, z = 0) = E_0 e^{-r^2/2a^2}$$

В безразмерных переменных

$$A(r, z) = A_0 / E_0 = e^{-r^2/2} = e^{-(x^2+y^2)/2}$$

$$H[A, A^*] = \int_{-\infty}^{\infty} dx dy \left(\nabla_{\perp} A \nabla_{\perp} A^* - \frac{R}{2} (AA^*)^2 \right) = 0$$

$$H[A, A^*] = \int_{-\infty}^{\infty} dx dy \left\{ \left[\left(\frac{\partial}{\partial x} + \frac{\partial}{\partial y} \right) e^{-\frac{x^2+y^2}{2}} \right]^2 - \frac{R}{2} e^{-2(x^2+y^2)} \right\} =$$
$$= \int_{-\infty}^{\infty} dx dy \left\{ [(x^2 + 2xy + y^2) e^{-(x^2+y^2)}] - \frac{R}{2} e^{-2(x^2+y^2)} \right\} =$$

$$= \pi - \pi \frac{R}{4} = 0 \rightarrow R = 4$$

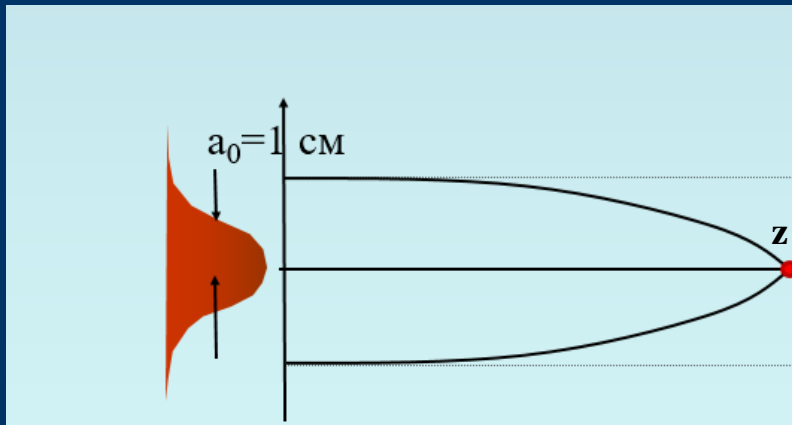
$$R = \frac{P_0}{P_{cr}^{ПО}}$$

$$P_{cr}^B = 4P_{cr}^{ПО}$$

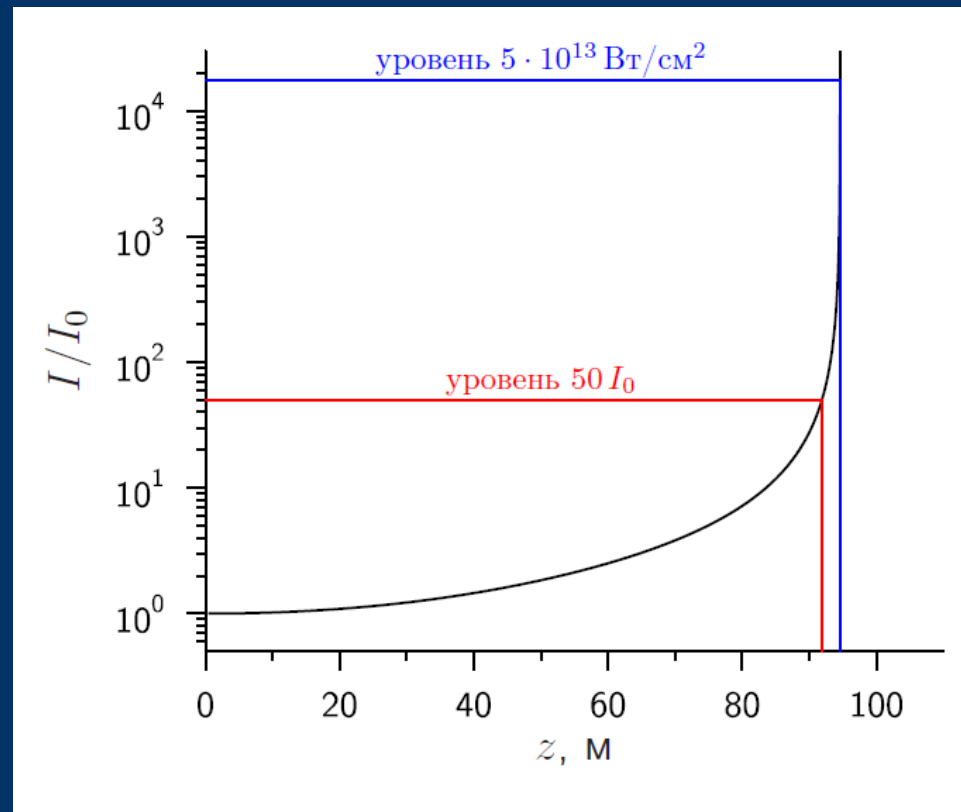
Численная оценка критической мощности

$$2i \frac{\partial A}{\partial z} = \Delta_{\perp} A + R |A|^2 A$$

$$A(r, z = 0) = e^{-(x^2 + y^2)/2}$$



$$R_{cr} = 3,77$$

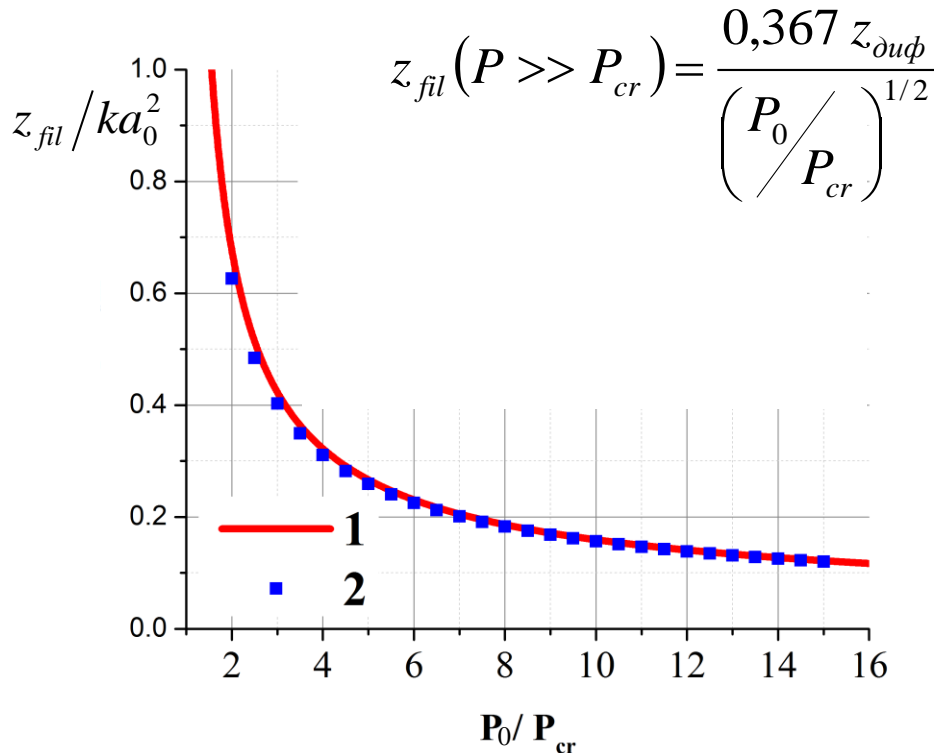


Расстояние самофокусировки

Коллимированный пучок гауссового профиля

$$z_{fil} = \frac{0,367 ka_0^2}{\left\{ \left[\left(\frac{P_0}{P_{cr}} \right)^{1/2} - 0,852 \right]^2 - 0,0219 \right\}^{1/2}}$$

Формула “Марбургера”,
Marburger J.H.
Prog. Quantum Electron, 1974



$$z_{nl} = \frac{0,366 ka_0^2}{\left\{ \left[\left(\frac{P_0}{P_{cr}} \right)^{1/2} - 0,825 \right]^2 - 0,03 \right\}^{1/2}}$$

Таланов В.И.
Известия вузов. Сер. Радиофизика, 1967

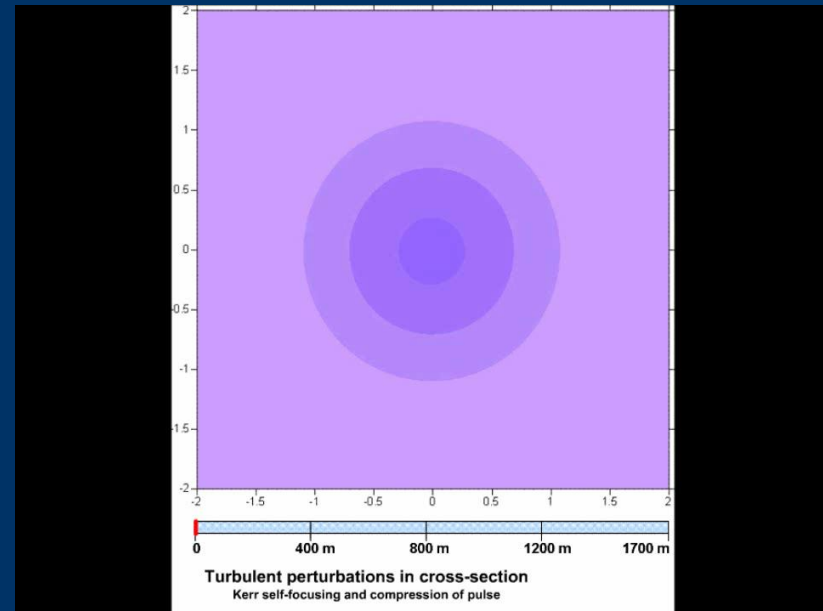
Мода Таунса. Форм-фактор.

$$2i \frac{\partial A}{\partial z} = \Delta_{\perp} A + R |A|^2 A$$

Решение ищем в виде : $A(r, z) = e^{-i\gamma z} T(r)$ $T'(r = 0) = 0$
 $T(r \rightarrow \infty) = 0$

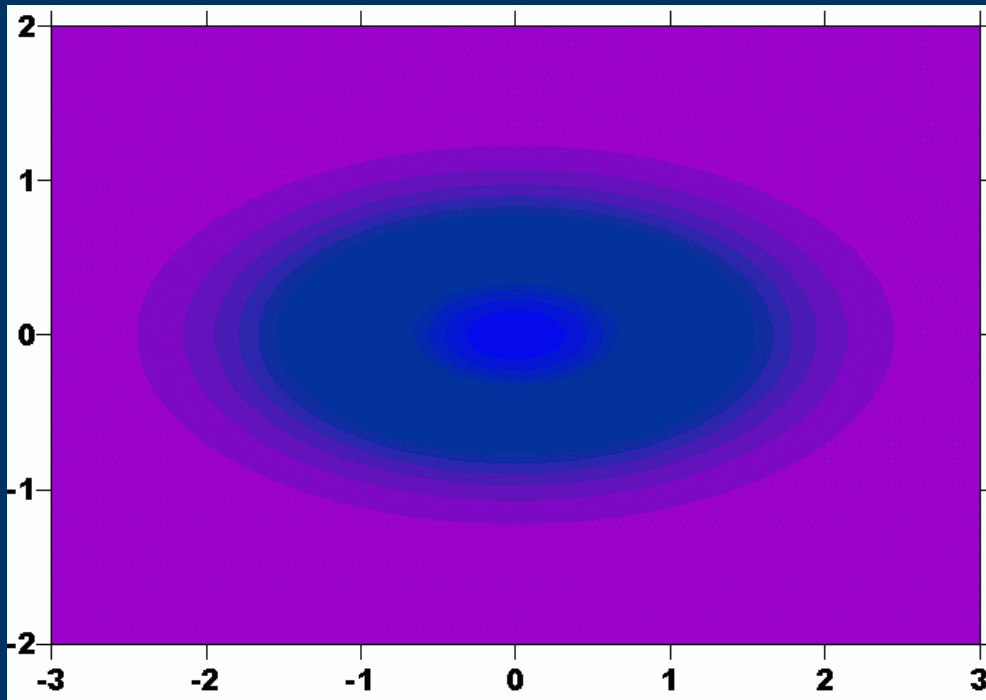
$$2\gamma T = \Delta_{\perp} T + RT^3$$

$$R_T = 3,72$$



Эллиптический пучок

$$A(x, y, z = 0) = A_0 \exp \left\{ -\frac{x^2}{2a^2} - \frac{y^2}{2b^2} \right\}$$



$$R_{\text{эл}}^{\text{вар}} = 2 \frac{a^2 + b^2}{ab}$$

Самофокусировка фокусированных пучков

$$2ik \frac{\partial A}{\partial z} = \Delta_{\perp} A + \frac{2k^2 n_2 |A|^2}{n_0} A$$

$$A(x, y, z = 0) = A_0 \exp\left\{-\frac{x^2 + y^2}{2a_0^2}\right\} \exp\left(ik \frac{x^2 + y^2}{2F}\right)$$

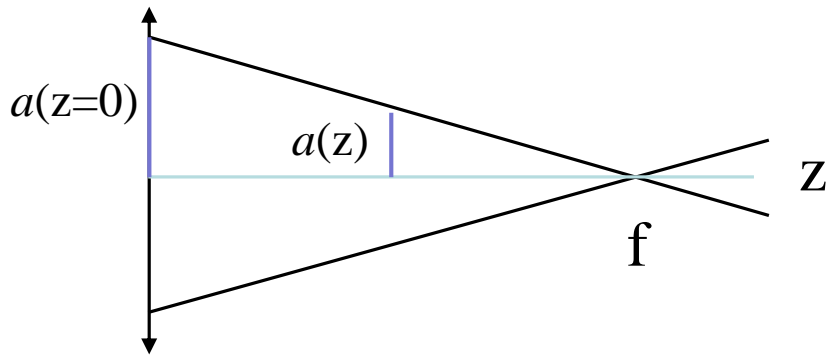
Безразмерные
координаты

$$x \rightarrow \frac{x}{a_0}, y \rightarrow \frac{y}{a_0}, z \rightarrow \frac{z}{ka_0^2}, A \rightarrow \frac{A}{A_0}$$

$$2i \frac{\partial A}{\partial z} = \Delta_{\perp} A + R |A|^2 A$$

$$A(x, y, z = 0) = \exp\left\{-\frac{x^2 + y^2}{2}\right\} \exp\left(i \frac{x^2 + y^2}{2f}\right), f \rightarrow \frac{F}{ka_0^2}$$

Линзовые преобразования



$$\frac{a(z)}{f-z} = \frac{a(z=0)}{f} \Rightarrow a(z) = a(z=0) \frac{f-z}{f}$$

$$a(z) = a(z=0) \left(1 - \frac{z}{f}\right)$$

Прямое преобразование

$$\xi = \frac{x}{1 - z/z_L} \quad \eta = \frac{y}{1 - z/z_L} \quad \zeta = \frac{z}{1 - z/z_L}$$

Обратное преобразование


$$x = \xi \frac{1}{1 + \frac{\zeta}{z_L}} \quad y = \eta \frac{1}{1 + \frac{\zeta}{z_L}} \quad z = \zeta \frac{1}{1 + \frac{\zeta}{z_L}}$$

Связь между комплексными амплитудами в обычных и линзовых координатах

$$A(x, y, z) = \frac{1}{1 - \frac{z}{z_L}} \cdot A(\xi, \eta, \zeta) \exp\left\{-i \frac{x^2 + y^2}{2(z - z_L)}\right\}$$

$$A(x, y, z) = \frac{z_L + \zeta}{z_L} \cdot A(\xi, \eta, \zeta) \exp\left\{+i \frac{\xi^2 + \eta^2}{2(z_L + \zeta)}\right\}$$

Операторы дифференцирования в линзовых координатах

$$\xi = \frac{x}{1 - z/z_L} \quad \frac{\partial}{\partial x} = \frac{\partial}{\partial \xi} \frac{1}{1 - \frac{z}{z_L}} \quad z = \zeta \frac{1}{1 + \frac{\zeta}{z_L}}$$


$$\frac{\partial}{\partial x} = \frac{\partial}{\partial \xi} \frac{1}{1 - \frac{\zeta}{z_L \left(1 + \frac{\zeta}{z_L}\right)}} = \frac{\partial}{\partial \xi} \frac{(z_L + \zeta)}{z_L} = \frac{(z_L + \zeta)}{z_L} \frac{\partial}{\partial \xi}$$

$$\frac{\partial}{\partial y} = \frac{z_L + \zeta}{z_L} \frac{\partial}{\partial \eta}$$

$$\frac{\partial}{\partial z} = \left(\frac{z_L + \zeta}{z_L}\right)^2 \frac{\partial}{\partial \zeta} + \frac{\xi}{z_L} \left(\frac{z_L + \zeta}{z_L}\right) \frac{\partial}{\partial \xi} + \frac{\eta}{z_L} \left(\frac{z_L + \zeta}{z_L}\right) \frac{\partial}{\partial \eta}$$

Вторые производные в линзовых координатах

$$\frac{\partial^2}{\partial x^2} = \left(\frac{z_L + \zeta}{z_L} \right)^2 \frac{\partial^2}{\partial \xi^2} \quad \frac{\partial^2}{\partial y^2} = \left(\frac{z_L + \zeta}{z_L} \right)^2 \frac{\partial^2}{\partial \eta^2}$$

Оператор дифракции в линзовых переменных имеет вид:

$$\frac{\partial^2 A}{\partial x^2} + \frac{\partial^2 A}{\partial y^2} = \left(\frac{z_L + \zeta}{z_L} \right)^3 \exp \left\{ i \frac{\xi^2 + \eta^2}{2(z_L + \zeta)} \right\} \times$$

$$\times \left[\begin{aligned} & \frac{\partial^2 A(\xi, \eta, \zeta)}{\partial \xi^2} + \frac{\partial^2 A(\xi, \eta, \zeta)}{\partial \eta^2} + 2i \frac{\eta}{z_L + \zeta} \frac{\partial A(\xi, \eta, \zeta)}{\partial \eta} + \\ & + 2i \frac{\xi}{z_L + \zeta} \frac{\partial A(\xi, \eta, \zeta)}{\partial \xi} + 2A(\xi, \eta, \zeta) \frac{i}{z_L + \zeta} - A(\xi, \eta, \zeta) \frac{\eta^2 + \xi^2}{(z_L + \zeta)^2} \end{aligned} \right]$$

Производная по продольной координате

$$2i \frac{\partial A}{\partial z} = 2i \left(\frac{z_L + \zeta}{z_L} \right)^3 \exp \left\{ i \frac{\xi^2 + \eta^2}{2(z_L + \zeta)} \right\} \times$$
$$\times \left[\frac{\partial A}{\partial \zeta} + A \left(\frac{1}{z_L + \zeta} - i \frac{\eta^2 + \xi^2}{2(z_L + \zeta)^2} \right) + \frac{\xi}{z_L + \zeta} \left(\frac{\partial A}{\partial \xi} + iA \frac{\xi}{z_L + \zeta} \right) + \frac{\eta}{z_L + \zeta} \left(\frac{\partial A}{\partial \eta} + iA \frac{\eta}{z_L + \zeta} \right) \right]$$

После подстановки в уравнение:

$$2i \frac{\partial A(x, y, z)}{\partial z} = \Delta_{\perp} A(x, y, z) + R |A|^2 A(x, y, z)$$

$$2i \frac{\partial A(\xi, \eta, \zeta)}{\partial \zeta} = \Delta_{\perp} A(\xi, \eta, \zeta) + R |A|^2 A(\xi, \eta, \zeta)$$

Уравнение самофокусировки инвариантно относительно линзовых преобразований!

Начальные условия в линзовых координатах

$$A(\xi, \eta, \zeta = 0) = A_0(\xi, \eta) \exp \left\{ i \frac{\xi^2 + \eta^2}{2} \left(\frac{1}{f} - \frac{1}{z_L} \right) \right\}$$

При $z_L = f$ пучок коллимированный $A(\xi, \eta, \zeta = 0) = A_0(\xi, \eta)$

Его расстояние самофокусировки в линзовых переменных

в $z = \zeta \frac{1}{1 + \frac{\zeta}{z_L}}$ подставляем: $\zeta = z_{fil}$

и $z_L = f$

$$z_{fil} = \frac{0,367 ka_0^2}{\left\{ \left[\left(\frac{P_0}{P_{cr}} \right)^{1/2} - 0,852 \right]^2 - 0,0219 \right\}^{1/2}}$$

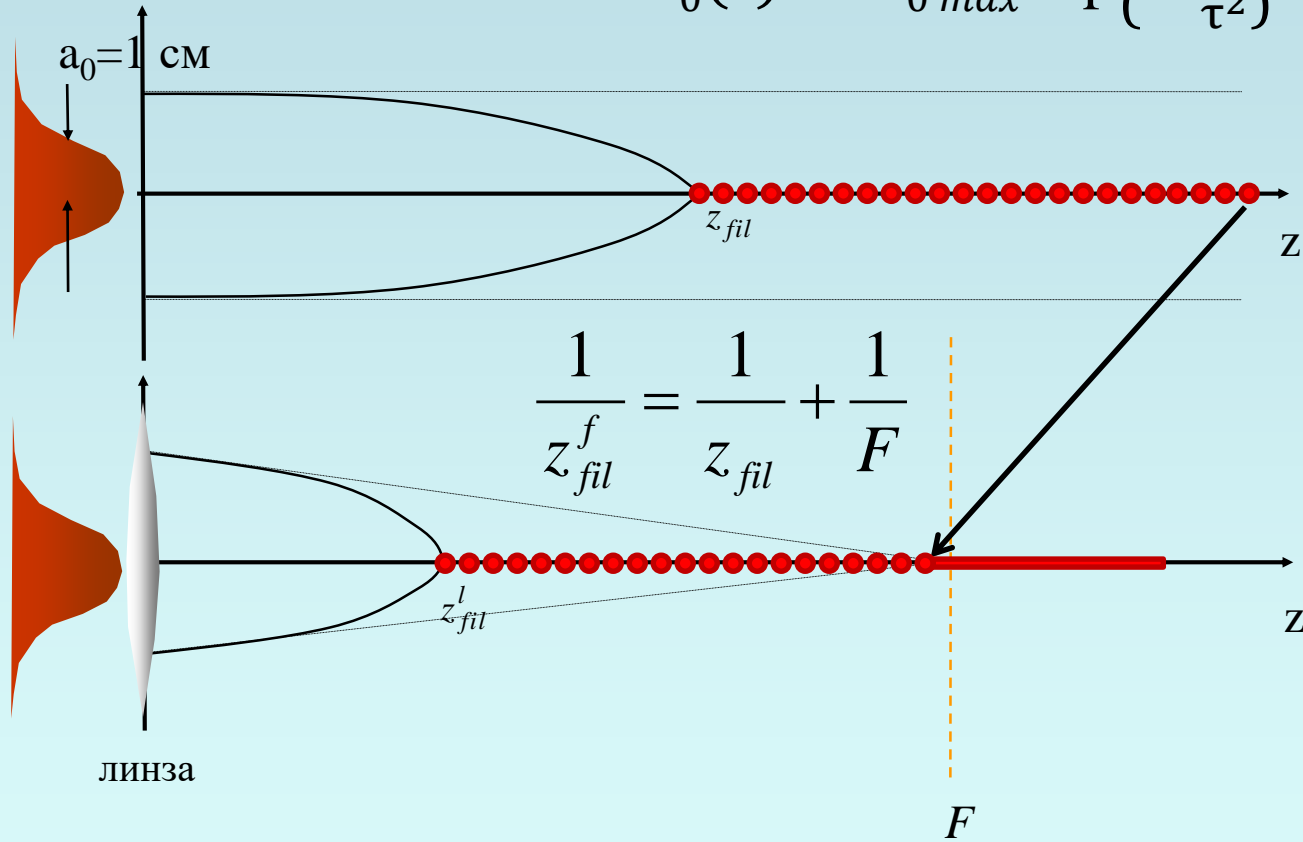
Расстояние самофокусировки для сфокусированного пучка $z_{fil}^f = z_{fil} \frac{1}{1 + z_{fil} / f}$

$$\frac{1}{z_{fil}^f} = \frac{1}{f} + \frac{1}{z_{fil}}$$

Аналог двух тонких линз!

Фокусировка импульсов

$$P_0(t) = P_{0 \max} \exp\left\{-\frac{t^2}{\tau^2}\right\}$$



Дисперсия кубичной нелинейности

$$P_{cr} = 3,77 \frac{\pi n_0}{2k^2 n_2} = 3,77 \frac{\lambda^2 n_0}{8\pi n_2}$$

$$n_2 = \frac{3\pi}{cn_0^2 \epsilon_0} \chi^3$$

$$\chi^3(\omega) = \chi^3(0)(1 + a_2 \omega^2 + a_4 \omega^4 + \dots)$$

$$\chi^3(\lambda) = A + B/\lambda^2 + \dots \quad n_2(\lambda) = A' + B'/\lambda^2$$

$$P_{cr} = 3,77 \frac{\lambda^2 n_0}{8\pi n_2(\lambda)}$$

Нестационарный отклик

$$\Delta n_k(t) = \Delta n_{\text{эл}}(t) + \Delta n_{\text{вр}}(t)$$

$$\tau_{\text{эл}} \sim 10^{-15} \text{с} \quad \Delta n_{\text{эл}}(t) = n_{2\text{эл}} I(t)$$

$$\Delta n_{\text{вр}}(t) = \text{Im} \left\{ n_{2\text{вр}} \sum_{J=0}^n F_J \int_0^t I(t - \tau) \exp(-i\omega_J \tau) \right\}$$

Частота перехода между вращательными уровнями $J+2, J$:

$$\omega_J = 4\pi c B(2J+3)$$

Теория Рамановского рассеяния на вращательных переходах развита
Платоненко В.Т. и др. в Laser Physics, v. 3, 618 (1993)

Нестационарная керровская нелинейность в воздухе

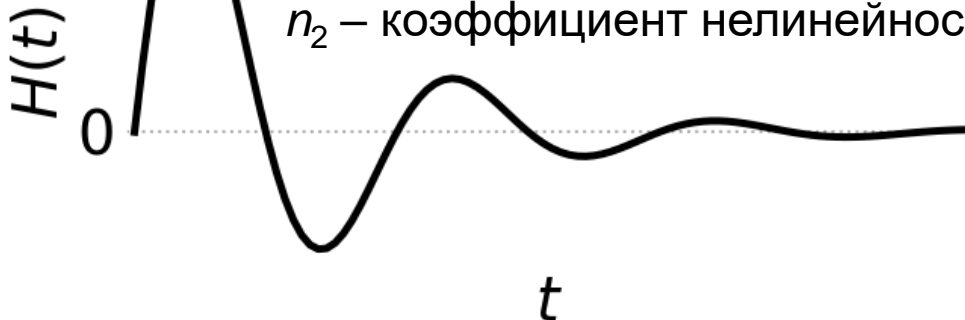
$$\Delta n_k(I(t)) = n_2 \left((1-g)I(t) + g \int_{-\infty}^t H(t-t')I(t')dt' \right)$$

$H(t)$ – функция отклика с характерным временем около 70 фс, $g=0,5$

- Oleinikov P.A., Platonenko V.T., *Laser Phys.*, 3, 618 (1993).
- E.T.J. Nibbering, G. Grillon, M.A. Franco, B.S. Prade, and A. Mysyrowicz, *JOSA B*, v.14, 650 (1997).
- Mlejnek M., Wright E.M., Moloney J.V. *Opt. Lett.*, 23, 382 (1998).

$$H(t) = \theta(t)\Omega^2 \exp\left\{-\frac{\Gamma t}{2}\right\} \frac{\sin(\Lambda t)}{\Lambda}, \quad \Lambda = \sqrt{\Omega^2 - \Gamma^2/4} \quad \begin{array}{l} \Omega = 20,6\text{ТГц} \\ \Gamma = 26\text{ТГц} \end{array}$$

n_2 – коэффициент нелинейности для «длинного» импульса ($\lambda=800$ нм)



$$n_2 = (1,5 \div 5,6) \cdot 10^{-19} \text{ см}^2/\text{ВТ}$$

$$P_{cr} = 3,77 \frac{\lambda^2 n_0}{8\pi n_2} = 1,7 \cdot 10^{-6} \text{ ГВт}$$